

80-367



ОБЪЕДИНЕННЫЙ
ИНСТИТУТ
ЯДЕРНЫХ
ИССЛЕДОВАНИЙ
ДУБНА

3709/2-80

11/8-80

P2-80-367

В.Г.Маханьков, И.Л.Боголюбский,
Г.Куммер, А.Б.Швачка

ВЗАИМОДЕЙСТВИЕ
РЕЛЯТИВИСТСКИХ ГАУССОНОВ

Направлено в "Physica scripta"

1980

ВВЕДЕНИЕ

В настоящее время не вызывает сомнения важность неаналитических по константе взаимодействия решений нелинейных уравнений теории поля - солитонов и инстантонов. Солитонные решения возникают в различных качественных моделях барионов^{/1,2/}, как релятивистских, так и нерелятивистских. К области физики высоких энергий, в которой изучение именно солитонного сектора может дать основу для разработки будущей теории, относится и исследование нелинейных обобщений квантовой электродинамики /КЭД/ на сверхмалых расстояниях. Наиболее привлекательным из них, на наш взгляд, является обобщение КЭД, предложенное недавно Кадышевским^{/3/}, опирающееся на гипотезу о существовании фундаментальной длины и 5-мерный принцип локальной калибровочной инвариантности.

Математическое моделирование взаимодействия соответствующих "частиц" - солитонов в реалистическом 4-мерном пространстве-времени - пока дело будущего /может быть, не очень отдаленного/. К тому же, например, в модели^{/3/} в настоящее время решения известны только в одномерном (x, t) -мире, что связано со сложностью исследования нелинейных спинорных теорий. Поэтому для начала естественно обратиться к скалярным теориям с известными устойчивыми солитонными решениями. В этом смысле весьма полезными являются теории с логарифмической нелинейностью (LN) Уравнение Шредингера с LN (SLN), его солитонные решения в D-мерном пространстве, динамика взаимодействия одномерных и двумерных солитонов были исследованы в работах^{/4/}. Соответствующая релятивистская модель - уравнение Клейна-Гордона с LN (KGLN), как оказалось^{/5/}, обладает, помимо солитонных, богатым набором осциллирующих локализованных решений, включающих в себя солитоны как частный случай. В работе^{/6/} путем квантования этих решений /"пульсонов"/ по Бору-Зоммерфельду был найден спектр масс локализованных частицеподобных коллективных возбуждений.

В настоящей работе исследованы динамические свойства квази-солитонов уравнения KGLN как в одномерном (x, t) , так и в двумерном (x, y, t) -пространстве / $D=1$ и $D=2$ соответственно/.

В предыдущих работах этой серии^{/7,8/} были изучены с помощью ЭВМ взаимодействия двумерных локализованных полевых сгустков в рамках уравнения КГ с различными нелинейностями. Было най-

дено, что при релятивистских скоростях ($v/c \rightarrow 1$) взаимодействие солитонов при встречных столкновениях квазиупруго. Наиболее интересной является область относительно малых скоростей ($v/c \rightarrow 0,1$)^{7,8/}; здесь наблюдается эффект слияния двух "частиц" в одну, причем в работах^{7,8/} были обнаружены долгоживущие связанные состояния двух неоднородных одноименно заряженных солитонов. Эти состояния являются слабоизлучающими и при $t \rightarrow \infty$ могут либо: 1/ распастись на свободные плоские волны, либо 2/ превратиться в солитон, излучив излишек энергии в виде волн, близких к линейным.

Ниже мы покажем, что подобный эффект образования связанного состояния заряженных солитонов не является модельно зависимым. Более того, существование в данной модели, помимо солитонных решений, богатого набора неизлучающих осциллирующих локализованных решений может привести еще и к 3/ формированию одного или нескольких неизлучающих пульсонов.

Численные эксперименты, описанные в данной работе, проводились с помощью алгоритмов, разработанных в работах^{7,8/}. §1 настоящей работы посвящен динамике взаимодействия одномерных солитонов, §2 - двумерных, причем рассмотрены как лобовые столкновения, так и столкновения с отличным от нуля прицельным параметром, в §3 мы кратко формулируем основные результаты.

§1. ДИНАМИКА ВЗАИМОДЕЙСТВИЯ ОДНОМЕРНЫХ ГАУССОНОВ ПРИ ВСТРЕЧНЫХ СТОЛКНОВЕНИЯХ

Рассмотрим уравнение

$$\phi_{tt} - \phi_{xx} - \phi \ln(|\phi|^2) \phi = 0. \quad /1/$$

Плотность гамильтониана в этой модели есть

$$H = |\phi_t|^2 + |\phi_x|^2 + U(|\phi|), \quad /2/$$

где

$$U(\phi) = -\phi^2 \ln \phi^2,$$

а солитонные решения выражаются в собственной системе координат формулой

$$\phi_g(x, t) = \exp\left(-\frac{\omega^2}{2}\right) \exp\left(-\frac{x^2}{2}\right) \exp(-i\omega t + i\theta_g). \quad /3/$$

Область динамической устойчивости этих решений относительно малых возмущений задается неравенством $\omega > \omega_{cr} = 1/\sqrt{2}$, т.е.

максимальная амплитуда поля устойчивого солитона /3/ $\phi_{s, \max} = \exp(-1/4) \approx 0,7788$. Для получения движущихся со скоростью v_g солитонов достаточно в формуле /3/ выполнить преобразование Лоренца. Эксперименты по столкновению двух встречных солитонов проводились при начальных условиях в виде двух достаточно удаленных друг от друга солитонов, имеющих скорость $v_1 = v$ и $v_2 = -v$ /v изменяется от 0 до 1/.

Первая серия экспериментов была выполнена с солитонами одинакового по величине и знаку заряда, т.е. $\omega_1 = \omega_2$. Опишем кратко характерные типы взаимодействий солитонов. При $\omega \geq 1,3$ и $v \geq 0,2$ после стадии полного перекрытия солитонов вновь возникают два частицеподобных образования, имеющие форму и скорость, близкие к начальным. Эффекты неупругости /изменение формы и скорости, излучение слабонелинейных волн/ выражены тем слабее, чем ближе скорость v к 1. При $\omega_{cr} < \omega \leq 1,3$ / ω_{cr} - граница устойчивости солитонов/ существует область, в которой взаимодействие устойчивых солитонов при столкновениях приводит к возникновению амплитуд поля $|\phi|$, соответствующих спадающей ветви потенциального рельефа. В этой области сразу после взаимного перекрытия солитонов очень быстро возникает особенность поля $|\phi|_{\max} \rightarrow \infty$ /сингулярный тип неустойчивости/. Существование этого типа взаимодействия характерно для моделей со спадающим при $|\phi| \rightarrow \infty$ потенциальным рельефом. При некоторых значениях параметров ω и v сингулярность возникает не сразу после перекрытия солитонов, а после нескольких осцилляций поля в центре тяжести системы.

Наконец, в области $\omega > 1,3$ при малых скоростях идентичных солитонов их взаимодействие приводит к образованию связанного состояния /подробнее см. §2/. Картина взаимодействия одинаковых солитонов меняется, если симметрия задачи нарушена вследствие отличия от нуля либо начальной разности фаз солитонов $\Delta\theta_{in} \neq 0$, либо разности их зарядов $\Delta Q = Q_1 - Q_2 \neq 0$. В первом случае при $\Delta\theta_{in} = \pi$ солитоны упруго отталкиваются; во втором при $\omega_1 = -\omega_2$ /т.е. $Q_1 = -Q_2$ / и $\theta_{s1} = -\theta_{s2}$ распределение плотности энергии остается симметричным, а заряда - антисимметричным относительно начала координат при всех t . Поэтому в результате взаимодействия не образуются ни заряженный солитон, ни осциллирующее связанное состояние с центром в точке $x = 0$; во всяком случае при исследованных значениях параметров $\omega = 1,4$ и $v = 0,02; 0,06; 0,08; 0,15; 0,5$ не было зафиксировано локализации заметной доли энергии в начале координат /ср. с результатами работы^{9/} /.

§2. ВЗАИМОДЕЙСТВИЯ НЕОДНОМЕРНЫХ ГАУССОНОВ

Теперь рассмотрим следующую задачу Коши:

$$\phi_{tt} - \phi_{xx} - \phi_{yy} - 2\phi - \ln(|\phi|^2)\phi = 0, \quad /4/$$

$$\phi(\infty, \infty, t) = 0.$$

Плотность гамильтониана для уравнения /4/ есть

$$H = |\phi_t|^2 + |\phi_x|^2 + |\phi_y|^2 - |\phi|^2 [1 + \ln(|\phi|^2)]. \quad /5/$$

Легко проверить, что функция

$$\phi_s(x, y, t) = \exp(-\omega^2/2) \exp\left(-\frac{x^2 + y^2}{2}\right) \exp(-i\omega t + i\theta_s) \quad /6/$$

является решением задачи /4/, а заряд

$$Q = -i \int_{R^2} [\phi_t^* \phi - \phi_t \phi^*] dx dy \quad /7/$$

и энергия

$$E = \int_{R^2} H dx dy \quad /8/$$

являются интегралами движения. Используя решение /6/, получим для /5/, /7/ и /8/:

$$H_s(r, \omega) = (2\omega^2 + 2r^2 - 1) \exp(-\omega^2 - r^2), \quad /9/$$

$$Q_s(\omega) = 2\pi\omega \exp(-\omega^2), \quad /10/$$

$$E_s(\omega) = 2\pi \cdot (\omega^2 + \frac{1}{2}) \exp(-\omega^2). \quad /11/$$

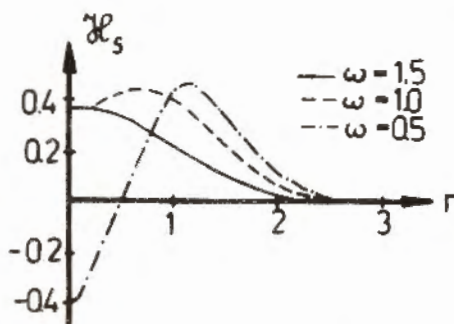


Рис.1. Плотность энергии солитона $H_s(r, \omega)$ при различных значениях частоты ω .

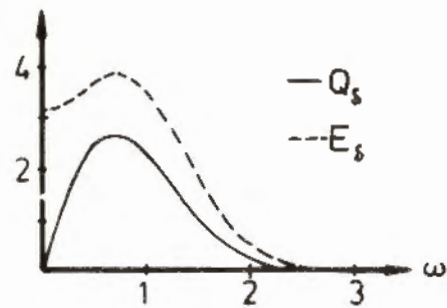


Рис.2. Заряд $Q_s(\omega)$ и энергия солитона $E_s(\omega)$ как функции частоты ω .

Функции $H_s(r, \omega)$, $Q_s(\omega)$ и $E_s(\omega)$ изображены на рис.1 и 2. Как и в одномерном случае, область устойчивости решений /6/ определяется условием $\omega > \omega_{cr} = \frac{1}{\sqrt{2}}$ и может быть легко найдена с помощью Q-теоремы ($dQ/d\omega < 0$) и формулы /10/. Нами был разработан алгоритм и создан пакет программ на ФОРТРАНе для исследования с помощью ЭВМ взаимодействия двух (2D+T)-мерных солитонов при встречных столкновениях. Скорости встречного движения солитонов были выбраны равными $v_1 = -v_2 = v$, где величина v последовательно изменялась в пределах от 0,05 до 0,9. Параметр ω варьировался в пределах от 0,9 до 2,4. Расчеты проводились с помощью симметричной разностной схемы второго порядка точности по x, y и t , соответствующей уравнению /4/. Шаг по времени выбирался равным $\Delta t = 0,1$; шаг по пространственным переменным $\Delta x = \Delta y = 0,2$. В точках $t = 0, 1, 2, \dots$ вычислялись плотность энергии $H(x, y, t)$ и полная энергия E . Для контроля точности расчетов мы использовали величину

$$\epsilon_t = \frac{E_0 - E(t)}{E_0},$$

характеризующую сохранение полной энергии системы / E_0 - энергия при $t = 0$ /. Во всех расчетах максимальная величина $|\epsilon_t| < 0,1\%$. С целью устранения влияния границ области расчета на движение солитонов в уравнение /4/ вводилась искусственная вязкость путем добавления члена $\alpha \phi_t$. Отметим, что этот член включался в рассмотрение лишь в области, прилегающей к границе и имевшей ширину $\approx 5\%$ от размера области $[x, y]$. Оптимальное значение коэффициента α было найдено экспериментально ($\alpha = 1,5$). Численные эксперименты по изучению динамики G-солитонов проводились на ЭВМ ЕСМ-6.

Как и следовало ожидать, при $v \rightarrow 1$ исследованные нами объекты ведут себя почти как "истинные" солитоны, взаимодействуя квазиупруго и приобретая лишь сдвиг в относительном положении. Однако при средних и низких скоростях ситуация меняется. В зависимости от частоты ω и скорости солитонов v можно выделить 4 качественно различных типа их взаимодействия:

- I. Квазиупругое и слабоупругое взаимодействия /рис.3а,4,5/.
- II. Связанное состояние /рис.3б,6,7/.
- III. Образование неустойчивого /сингулярная мода/ связанного состояния /рис.3в/.
- IV. Образование сингулярности поля в центре тяжести системы в момент перекрытия солитонов /рис.3г/.

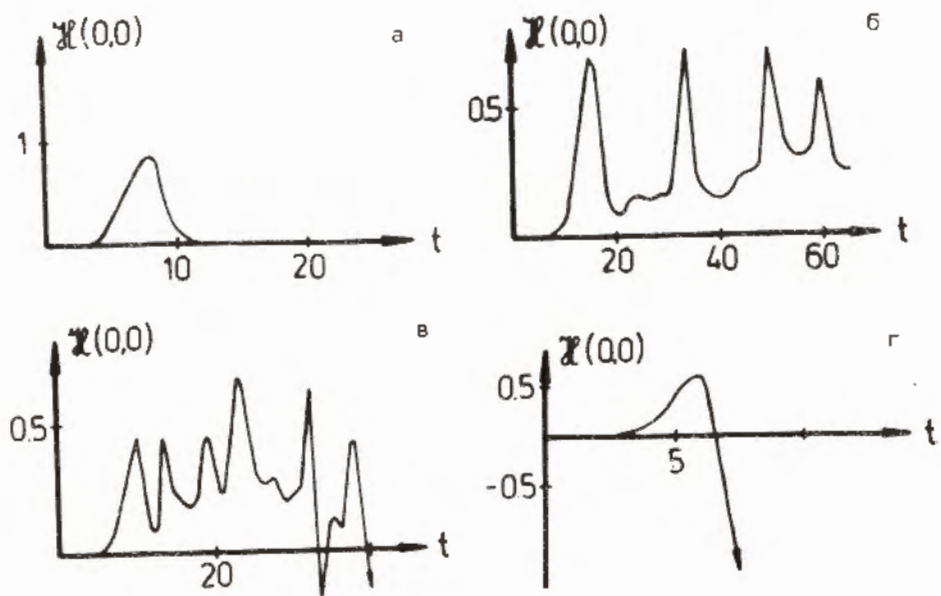


Рис.3. Зависимость от времени плотности энергии $\mathcal{H}(x, y, t)$ системы двух солитонов в начале координат ($x=0, y=0$): а/ квазиупругое и слабонеупругое взаимодействия; б/ связанное состояние; в/ неустойчивое связанное состояние, распадающееся по сингулярной моде; г/ образование сингулярности поля в момент перекрытия солитонов.

Области существования всех указанных выше типов взаимодействий, обнаруженные нами в численных экспериментах, представлены на рис.8 в плоскости (v, ω) . Для иллюстрации этих типов взаимодействий на рис.3 изображена зависимость плотности энергии $\mathcal{H}(0,0,t)$ в начале координат от времени.

В отдельном эксперименте было исследовано взаимодействие гауссонов с различными начальными фазами $\theta_1 \neq \theta_2$. Наиболее рельефно влияние разности фаз $\Delta\theta = \theta_1 - \theta_2$ проявляется в случае, когда в начальный момент полевая функция антисимметрична относительно прямой $x=0$ ($\phi(x, y, 0) = -\phi(-x, y, 0)$), т.е. при $\Delta\theta = \pi$. Поскольку уравнение /4/ сохраняет симметрию, полевая функция ϕ остается антисимметричной и в последующие моменты времени t . В результате при $\Delta\theta \neq 0$ в области III /рис.8/ взаимодействие гауссонов носит характер упругого отталкивания, в отличие от образования неустойчивого связанного состояния при $\Delta\theta = 0$ /рис.9/. Изменения картины взаимодействия можно ожи-

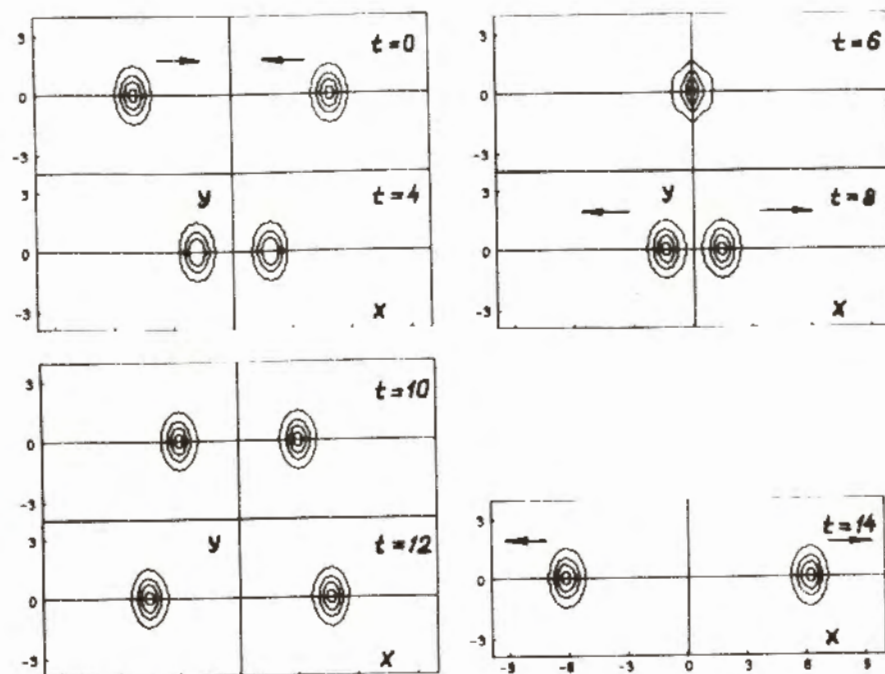


Рис.4. Упругое взаимодействие гауссонов при $v = 0,8, \omega = 2$. Картины линий уровня соответствуют плоским сечениям, приведенным на рис.5: $\mathcal{H} = \mathcal{H}/\mathcal{H}_{\max}$, где $\mathcal{H}_{\max} = 0,79 = \mathcal{H}(t=6)$. Скорость v измеряется в единицах c , плотность энергии $\mathcal{H}(x, y, t)$ — в безразмерных единицах.

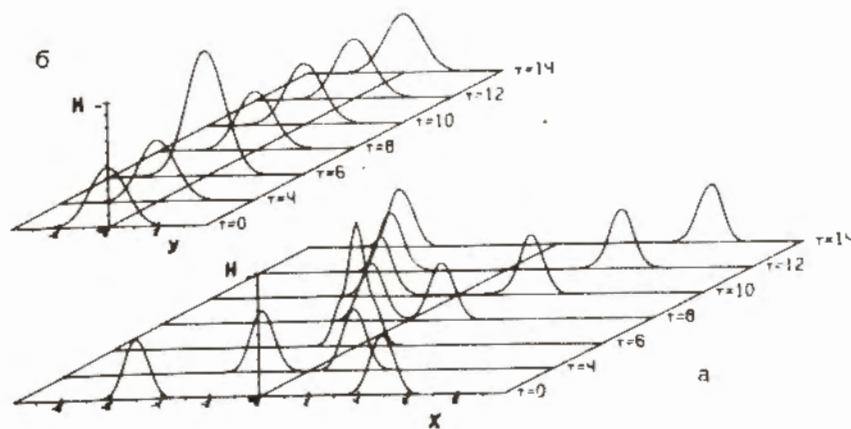


Рис.5. Упругое взаимодействие гауссонов при $v = 0,8, \omega = 2$. а/ сечение плоскостью (\mathcal{H}, x) ; б/ сечение плоскостью (\mathcal{H}, y) .

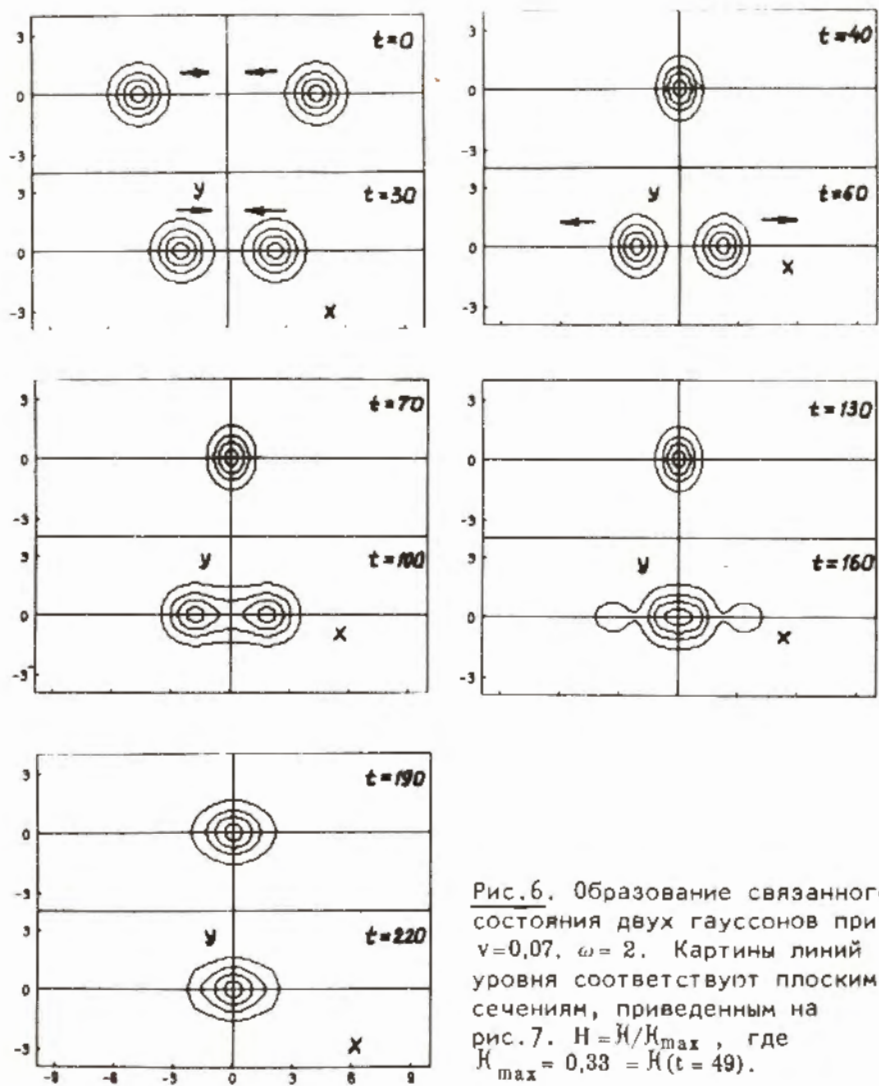


Рис.6. Образование связанного состояния двух гауссонов при $v=0,07$, $\omega=2$. Картины линий уровня соответствует плоским сечениям, приведенным на рис.7. $H=H/H_{\max}$, где $H_{\max}=0,33=H(t=49)$.

дать также и при отличающихся зарядах сталкивающихся гауссонов $Q_1 \neq Q_2$, в частности, при $Q_1 = -Q_2$, что было обнаружено в эксперименте с одномерными солитонами.

Кроме того, нами было исследовано, как влияет на взаимодействие гауссонов отличный от нуля угловой момент системы или, что то же самое, ненулевой прицельный параметр p . Расчеты показали, что существует резонансная область значений $p \in \Delta p_{\text{рез}}$.

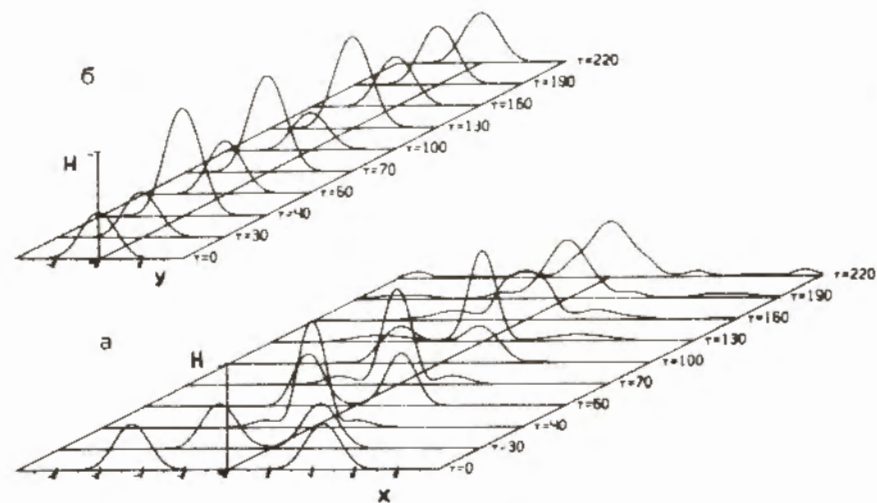


Рис.7. Образование связанного состояния двух гауссонов при $v=0,07$, $\omega=2$.

Рис.8. Области существования четырех типов взаимодействий гауссонов в плоскости (v, ω) : I - квазиупругое и слабонепругое взаимодействия; II - образование связанного состояния; III - образование неустойчивого связанного состояния; IV - образование сингулярности поля в центре тяжести системы в момент перекрытия солитонов.

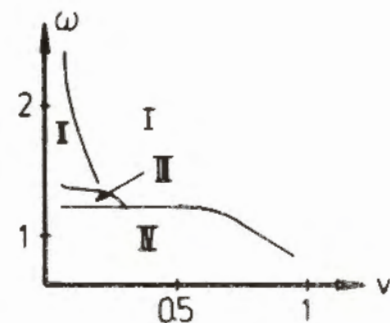
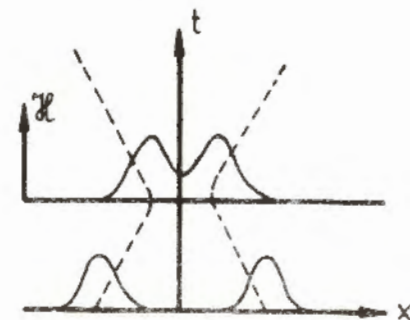


Рис.9. Упругое отталкивание гауссонов в случае отличной от нуля разности фаз $(\Delta\theta = \theta_1 - \theta_2 = \pi)$ при $v=0,15$; $\omega=1,3$.



в которой неупругость взаимодействия увеличивается, а область образования связанных состояний II расширяется за счет уменьшения области I. Приблизительный вид этой резонансной области показан на рис. 10 /эта картина весьма напоминает полученную в работе /10/ для совершенно непохожей нерелятивистской модели $\phi^4 - a\phi^6$ /.

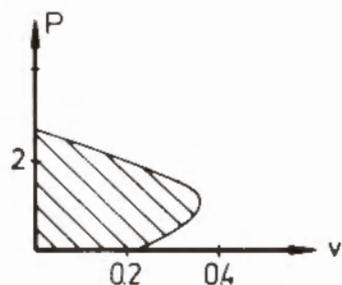


Рис. 10. Область существования связанных состояний гауссонов в плоскости (p, v) при отличном от нуля прицельном параметре p (ср. с областью II на рис. 8).

§3. ОСНОВНЫЕ РЕЗУЛЬТАТЫ

Настоящая работа является продолжением серии работ, выполненных в Лаборатории вычислительной техники и автоматизации ОИЯИ и посвященных исследованию динамических свойств неоднородных солитонов в различных моделях теории поля /7,8/. Здесь мы отметим те их свойства, которые, как следует из сравнения с результатами предыдущих работ /7,8/, можно считать модельно независимыми.

1. В наиболее простом, полностью симметричном случае лобового столкновения двух одинаковых квазисолитонов в области изменения параметров (ω, v) можно выделить четыре подобласти с характерными типами взаимодействий. Первые два типа /упругое взаимодействие I /рис. 4, 5/ и взаимодействие, ведущее к образованию связанного состояния II /рис. 6, 7// имеют место вдали от порога устойчивости отдельного квазисолитона. Последние два типа взаимодействий проявляются в переходной области вблизи порога неустойчивости. Их можно интерпретировать как проявление неустойчивости образовавшегося связанного состояния /III/ и как непосредственную неустойчивость провзаимодействовавших квазисолитонов /IV/*.

* В работе /8/ третий тип взаимодействия мы назвали распадом через резонанс. В данном случае имеет место образование сингулярности поля через резонанс.

В последних двух случаях вид неустойчивости зависит от модели: это может быть распад, как это имеет место в модели с насыщающейся нелинейностью $U(\phi) \propto \ln(1 + |\phi|^2)^{1/8}$, или образование сингулярности поля, как, например, в рамках "гауссоновой" модели, где $U(\phi) \propto |\phi|^2 \cdot \ln(|\phi|^2)$. Относительный размер областей I, II, III и IV /но не их расположение/ зависит от типа модели /см. рис. 11, из которого также видно принципиальное различие между упомянутыми моделями/.

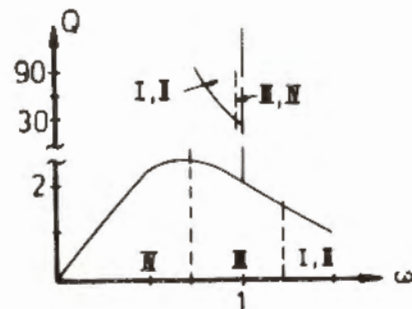


Рис. 11. Расположение областей существования 4 типов взаимодействий в плоскости (Q, omega) для исследованной модели и модели с насыщающейся нелинейностью /8/ /верхняя часть рисунка/.

2. Усложнение условий столкновения солитонов /нарушение начальной симметрии/ путем введения разностей фаз $\Delta\theta$ и изочарядов ΔQ , а также ненулевого прицельного параметра p значительно усложняет картину взаимодействия, сдвигая и размывая границы областей или даже в корне изменяя вид взаимодействия /вспомним случай $\Delta\theta = \pi$, когда упругое отталкивание сменяет неустойчивость/. Последнее замечание следует иметь в виду при анализе и интерпретации результатов численных экспериментов.

ЛИТЕРАТУРА

1. Friedberg R., Lee T.D., Sirlin A. Phys.Rev., 1976, D13, p.2739; Nucl. Phys., 1976, B115, p.32; Friedberg R., Lee T.D. Phys.Rev., 1977, D15, p.1694; Preprint CO-2271-89, Columbia Univ., N.Y., 1977.
2. Witten E. Preprint HUTP-79/A007, Cambridge, 1979.
3. Kadyshevsky V.G. FERMILAB-Pub-78/70-THY, Batavia, 1978.
4. Bialynicki-Birula I., Mycielski J. Bull.Acad.Polon.Sci., ser. math., 1975, 23, p.461; Ann.Phys., 1976, 100, p.62; Oficjalski J., Bialynicki-Birula I. Acta Phys. Pol., 1978, B9, p.759.
5. Marques G.C., Ventura I. IFUSP Preprint P-83, 1976.

6. Боголюбский И.Л. ЖЭТФ, 1979, 76, с.422.
7. Bogolubsky I.L., Makhankov V.G., Shvachka A.B. Phys.Lett., 1977, A63, p.225.
8. Makhankov V.G., Kummer G., Shvachka A.B. Phys.Lett., 1979, A70, p.171; Phys.scripta,1979,20,p.454; Makhankov V.G., Shvachka A.B. JINR, P2-13041, Dubna, 1980; Physica D (to be published); Makhankov V.G., Kummer G., Shvachka A.B. JINR, P2-13042, Dubna, 1980; Physica D (to be published).
9. Simonov Yu., Tjon J. Phys.Lett., 1979, 85B, p.380.
10. Devi S., Strayer M., Irvine J. J.Phys.G: Nucl.Phys., 1979, 5, p.281.

Рукопись поступила в издательский отдел
26 мая 1980 года.